

ИССЛЕДОВАНИЕ МОДИФИЦИРОВАННОЙ МОДЕЛИ «РОСТ»
С ОСОБЫМИ РЕЖИМАМИ *

1. Введение

Изучается одномерная нелинейная задача оптимального управления

$$\begin{cases} \dot{z} = (1+z)u - z(1+z^\gamma), & z(0) = z_0 > 0, \\ L[u] = \omega_1 L_1 + \omega_2 L_2 \rightarrow \max_{u(\cdot)}, & 0 \leq u \leq 1, \end{cases} \quad (1)$$

где

$$L_1[u] = \int_0^T [1 + z^\gamma - u] dt, \quad L_2[u] = \int_0^T \frac{u}{z} dt, \quad (2)$$

Здесь z — одномерная фазовая переменная, u — скалярное управление, подчинённое геометрическому ограничению $u \in [0, 1]$, $T > 0$ — заданная, «достаточно большая», длительность процесса управления, параметры ω_1, ω_2 — заданные неотрицательные числа, такие что $\omega_1 + \omega_2 = 1$, ν — заданный положительный коэффициент дисконтирования, параметр $\gamma \in (0, 1)$.

2. Вилка для допустимых траекторий

В данном разделе приводятся некоторые технические результаты, важные для дальнейших построений.

Лемма 1. Любая допустимая траектория $z(t)$ в задаче (1) удовлетворяет двойному неравенству

$$z_-(t) \leq z(t) \leq z_+(t), \quad t \geq 0. \quad (3)$$

Нижняя граница $z_-(t)$ вилки (3) отвечает управлению $u(t) \equiv 0$ и является решением задачи Коши

$$\dot{z} = -z(1+z^\gamma), \quad z(0) = z_0 > 0.$$

Верхняя граница $z_+(t)$ вилки (3) отвечает управлению $u(t) \equiv 1$ и является решением задачи Коши

$$\dot{z} = 1 - z^{\gamma+1}, \quad z(0) = z_0 > 0.$$

*Работа выполнена при поддержке РФФИ (проект 12-01-00175) и Программы государственной поддержки ведущих научных школ (НШ-6512.2012.1).

Функция $z_-(t)$ определяется явной формулой

$$z_-(t) = [(1 + z_0^{-\gamma}) e^{\gamma t} - 1]^{-\frac{1}{\gamma}}, \quad t \geq 0.$$

Она монотонно убывает с ростом времени t и $\lim_{t \rightarrow +\infty} z_-(t) = 0$.

При $z_0 = 1$ функция $z_+(t)$ тождественно равна единице, а при $z_0 \neq 1$ функция $z_+(t)$ является решением неявного уравнения

$$\int_{z_0}^{z_+(t)} \frac{d\zeta}{1 - \zeta^{\gamma+1}} = t,$$

причём, при $z_0 > 1$ функция $z_+(t)$ убывает, а при $z_0 \in (0, 1)$ функция $z_+(t)$ возрастает с ростом времени t , при этом всегда имеет место предельное равенство $\lim_{t \rightarrow +\infty} z_+(t) = 1$. Множество достижимости $Z(\tau)$ управляемого объекта в момент времени $\tau \geq 0$ представляет собой отрезок $Z(\tau) = [z_-(\tau), z_+(\tau)]$, концами которого служат границы вилки (3).

На рис. 1 показан график нижней границы вилки (3). На рис. 2 показаны графики верхней границы вилки (3) при $z_0 \in (0, 1)$, $z_0 = 1$, $z_0 > 1$. На

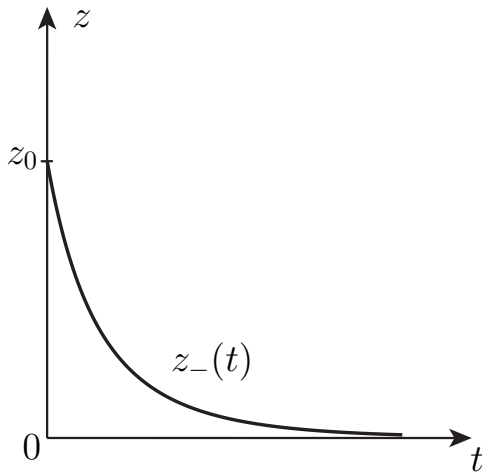


Рис. 1. График нижней границы вилки

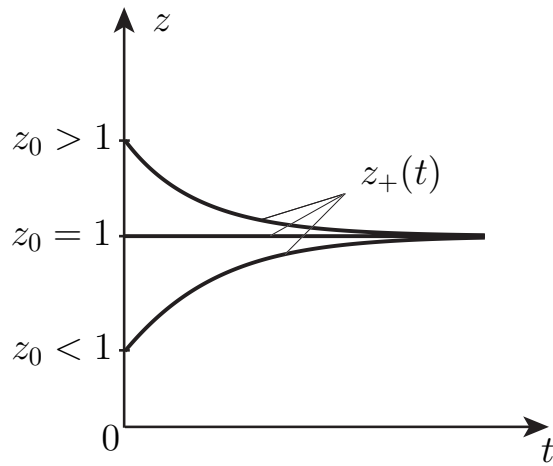


Рис. 2. Графики верхней границы вилки

рис. 3–5 даётся геометрическая интерпретация свойств множества достижимости $Z(\tau)$.

3. Вычисление возможных особых режимов

Функция Гамильтона-Понтрягина для задачи (1)

$$K(z, \psi, u) = \omega_1 [1 + z^\gamma - u] + \omega_2 \frac{u}{z} + \psi [(1 + z)u - z(1 + z^\gamma)]$$

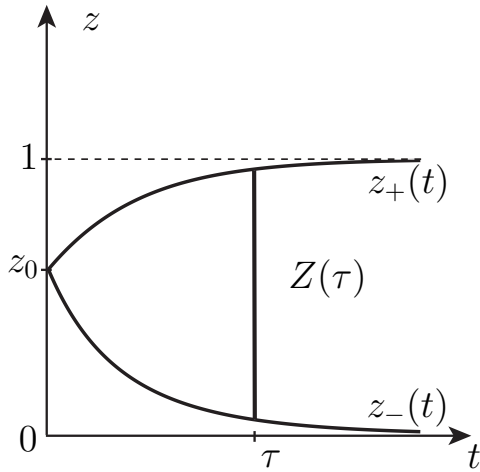


Рис. 3. Множество достижимости $Z(t)$ при $z_0 \in (0, 1)$

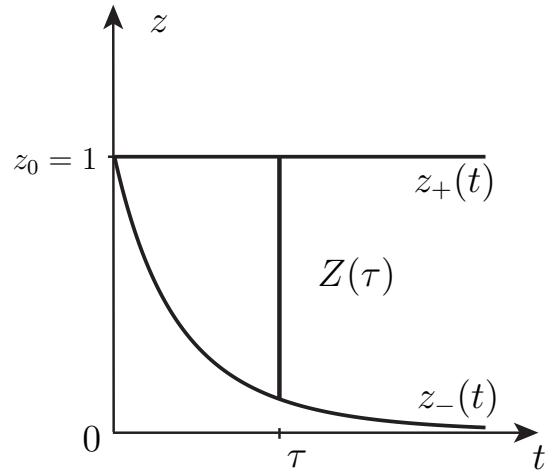


Рис. 4. Множество достижимости $Z(t)$ при $z_0 = 1$

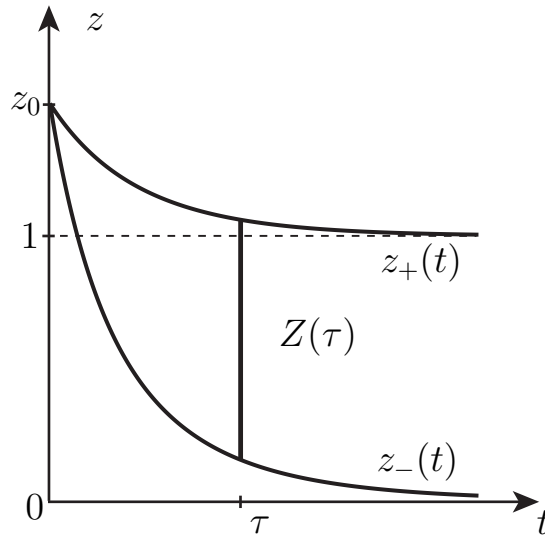


Рис. 5. Множество достижимости $Z(t)$ при $z_0 > 1$

может быть представлена в виде

$$K = u \pi + (1 + z^\gamma)(\omega_1 - \psi z), \quad (4)$$

где функция переключения π определяется равенством

$$\pi = \pi(z, \psi) \equiv \frac{\omega_2}{z} - \omega_1 + (1 + z)\psi. \quad (5)$$

Сопряжённое уравнение $\dot{\psi} = -K'_z$ принимает вид

$$\dot{\psi} = -\omega_1 \gamma z^{\gamma-1} + \frac{\omega_2 u}{z^2} + \psi [-u + 1 + (\gamma + 1)z^\gamma], \quad \psi(T) = 0. \quad (6)$$

Из условия максимума $K \implies \max_{u \in [0,1]}$ находим максимизатор функции (4)

$$u_* = \operatorname{argmax}_{u \in [0,1]} K(z, \psi, u) = h(\pi), \quad \pi \neq 0,$$

где $h(\cdot)$ — функция Хевисайда. При $\pi = 0$ каждая точка отрезка $[0, 1]$ является максимизатором. Анализ тождества

$$\Pi(t) = \pi(z(t), \psi(t)) \equiv 0 \quad \forall t \in (\alpha, \beta), \quad \alpha < \beta, \quad (7)$$

и его дифференциальных следствий позволяет найти возможный особый режим задачи (1):

$$z = z_{sng} \in (0, 1), \quad u = u_{sng} \in (0, 1). \quad (8)$$

Действительно, дифференцирование по времени t тождества (7) с учётом (5) даёт

$$\dot{z} \left(-\frac{\omega_2}{z^2} + \psi \right) + (1+z)\dot{\psi} \equiv 0,$$

откуда, в силу дифференциального уравнения движения задачи (1) и сопряжённого уравнения (6), получаем

$$\begin{aligned} & \left(-\frac{\omega_2}{z^2} + \psi \right) [(1+z)u - z(1+z^\gamma)] + \\ & + (1+z) \left[-\omega_1 \gamma z^{\gamma-1} + \frac{\omega_2 u}{z^2} + \psi [-u + 1 + (\gamma+1)z^\gamma] \right] \equiv 0, \end{aligned}$$

или

$$\frac{\omega_2(1+z^\gamma)}{z} - \omega_1(1+z)\gamma z^{\gamma-1} + \psi [1 + (\gamma+1)z^\gamma + \gamma z^{\gamma+1}] \equiv 0.$$

Дальнейшие преобразования с использованием вытекающей из (7), (5) формулы

$$\psi \equiv \frac{\omega_1 z - \omega_2}{z(1+z)}$$

дают

$$(\omega_1 + \omega_2) \frac{(\gamma-1)z - z^{1-\gamma} + \gamma}{z^{1-\gamma}(1+z)} \equiv 0.$$

Учитывая, что $\omega_1 + \omega_2 = 1$, получим $(\gamma-1)z - z^{1-\gamma} + \gamma \equiv 0$. Рассмотрим функцию $g(z, \gamma) = (\gamma-1)z - z^{1-\gamma} + \gamma$ и зафиксируем некоторое $\bar{\gamma} \in (0, 1)$. Обозначим $f(z) = g(z, \bar{\gamma})$. Справедливы следующие свойства:

$$\begin{aligned} f(0) &= \bar{\gamma} > 0, \quad f(1) = 2(\bar{\gamma} - 1) < 0, \\ f'(z) &= (\bar{\gamma} - 1)(1 + z^{-\bar{\gamma}}) < 0 \quad \forall z > 0 \\ f''(z) &= (1 - \bar{\gamma})\bar{\gamma}z^{-\bar{\gamma}-1} > 0 \quad \forall z > 0. \end{aligned} \quad (9)$$

Поэтому существует единственный корень z_{sng} функции $f(z)$ на интервале $(0, +\infty)$, причём справедливо включение $z_{sng} \in (0, 1)$. Таким образом, вдоль особого режима траектория сохраняет постоянное значение z_{sng} . Следовательно, на особом участке в силу дифференциального уравнения движения имеем $0 \equiv (1+z_{sng})u - z_{sng}(1+z_{sng}^\gamma)$, откуда находится особое значение управления

$$u \equiv \frac{z_{sng}(1+z_{sng}^\gamma)}{1+z_{sng}} = u_{sng} \in (0, 1).$$

Соотношения (8) для возможного особого режима обоснованы. Пока вопрос о существовании особого режима и об особом участке времени (α, β) остаётся открытым.

С учётом (5) и условия трансверсальности $\psi|_{t=T} = 0$, для функции переключения π можно записать следующее соотношение

$$\pi|_{t=T} = \frac{\omega_2}{z(T)} - \omega_1. \quad (10)$$

Соотношение (10) позволяет определить оптимальное управление на финальном участке времени и будет исследовано ниже.

4. Замечания о вычислении параметра z_{sng}

Рассмотрим полученное выше уравнение

$$g(z, \gamma) \equiv -(1 - \gamma)z - z^{1-\gamma} + \gamma = 0 \quad (11)$$

для вычисления z_{sng} . График функции $g(z, \gamma)$ при $\gamma = \frac{1}{2}$ представлен ниже на рисунке 6. Обозначим через $z = z_{sng}(\gamma)$ функцию, которая для каждого

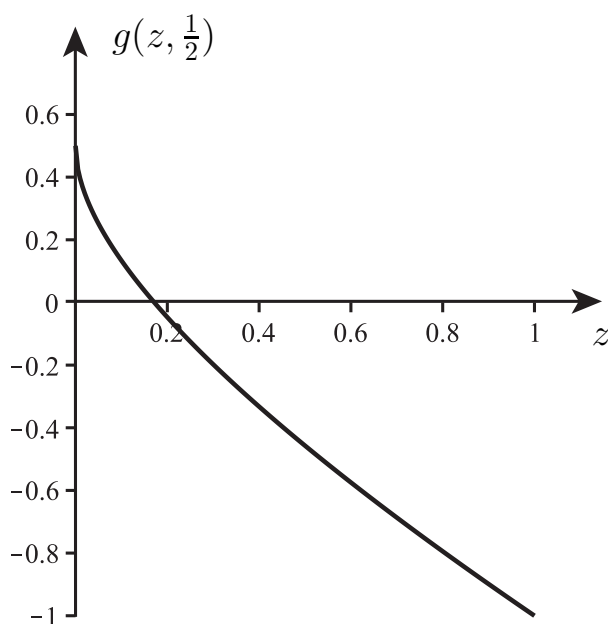


Рис. 6. График функции $g(z, \frac{1}{2})$

$\gamma \in (0, 1)$ ставит в соответствие решение z_{sng} уравнения (11). Выше показано, что $z_{sng}(\gamma) \in (0, 1)$.

4.1. Исследование функции $z_{sng}(\gamma)$

Рассмотрим функцию, обратную к функции $z = xe^x$ на луче $[-e^{-1}, +\infty)$, и обозначим её $W_0(z)$. Эта функция есть однозначная ветвь W -функции Ламберта [15]. Докажем следующую лемму:

Лемма 2. Функция $z_{sng}(\gamma)$ обладает следующими свойствами:

1. $z_{sng}(\gamma)$ возрастает на интервале $(0, 1)$;
2. $\lim_{\gamma \rightarrow 0} z_{sng}(\gamma) = 0$;
3. $\lim_{\gamma \rightarrow 1} z_{sng}(\gamma) = W_0(e^{-1})$.

Доказательство. Рассмотрим уравнение (11):

$$z^{1-\gamma} + (1-\gamma)z - \gamma = 0. \quad (12)$$

Предположим, что существует функция $\gamma(z)$, определённая на интервале $(0, W_0(e^{-1}))$, являющаяся обратной к функции $z_{sng}(\gamma)$. Если доказать, что

1. $\gamma(z)$ возрастает на интервале $(0, W_0(e^{-1}))$;
2. $\lim_{z \rightarrow 0} \gamma(z) = 0$;
3. $\lim_{z \rightarrow W_0(e^{-1})} \gamma(z) = 1$,

тогда лемма будет доказана. Покажем это.

Найдём функцию $\gamma(z)$. Произведя в уравнении (12) замену переменных $\gamma = 1 - \frac{1}{z+1} + y$, получим

$$z^{\frac{1}{z+1}-y} + \left(\frac{1}{z+1} - y \right) (z+1) - 1 = 0,$$

или

$$z^{\frac{1}{z+1}-y} = (z+1)y,$$

или

$$yz^y = \frac{z^{\frac{1}{z+1}}}{z+1}.$$

Запишем решение этого уравнения в виде

$$y = \frac{W_0\left(\frac{z^{\frac{1}{z+1}}}{z+1} \ln z\right)}{\ln z},$$

и, вернувшись к старым переменным, получим

$$\gamma(z) = \frac{z}{z+1} + \frac{W_0\left(\frac{z^{\frac{1}{z+1}}}{z+1} \ln z\right)}{\ln z}. \quad (13)$$

Рассмотрим функцию $f_1(z) = \frac{z^{\frac{1}{z+1}}}{z+1} \ln z$. Покажем, что эта функция убывает и меньше нуля на интервале $(0, W_0(e^{-1}))$. Рассмотрим функцию $f_2(x) = xe^x$

и функцию $f_3(z) = \frac{\ln z}{z+1}$. Легко показать, что $f_1(z) = f_2(f_3(z))$. Верно, что $f_3(z) < 0$ на $(0, W_0(e^{-1}))$, $\lim_{z \rightarrow 0} f_3(z) = -\infty$ и $f_3(W_0(e^{-1})) = -1$. Её производная $f_3'(z) = \frac{1}{z(z+1)} - \frac{\ln z}{(z+1)^2}$ больше нуля на $(0, W_0(e^{-1}))$. То есть функция $f_3(z)$ возрастает при $z \in (0, W_0(e^{-1}))$. Можно показать, что функция $f_2(x)$ убывает на интервале $(-\infty, -1)$ и меньше нуля. Следовательно, композиция функций $f_1(z) \equiv f_2(f_3(z))$ убывает и меньше нуля на $(0, W_0(e^{-1}))$. И легко убедиться, что $\lim_{z \rightarrow 0} f_1(z) = 0$ и $f_1(W_0(e^{-1})) = -e^{-1}$.

Докажем последовательно все пункты леммы применительно к функции $\gamma(z)$. Из исследования выше с учётом того, что $W_0(x)$ возрастает и меньше нуля на $[-e^{-1}, 0)$, вытекает, что $W_0(f_1(z))$ убывает и меньше нуля на этом полуинтервале. Функция $\frac{1}{\ln z}$ тоже убывает и меньше нуля на интервале $(0, W_0(e^{-1}))$. Тогда функция $\frac{W_0(f_1(z))}{\ln z}$ возрастает и больше нуля на интервале $(0, W_0(e^{-1}))$. Функция $\frac{z}{z+1}$ возрастает на $(0, W_0(e^{-1}))$. Тогда функция $\gamma(z) = \frac{z}{z+1} + \frac{W_0(f_1(z))}{\ln z}$ возрастает на $(0, W_0(e^{-1}))$. Первое утверждение леммы доказано.

Второе утверждение. Когда z стремится к нулю справа, то первое слагаемое в функции $\gamma(z)$ стремится к нулю, $f_1(z)$ стремится к нулю, откуда следует, что $W(f_1(z))$ тоже стремится к нулю; функция $\frac{1}{\ln z}$ тоже стремится к нулю. Значит, $\lim_{z \rightarrow 0} \gamma(z) = 0$, и второе утверждение доказано.

Третье утверждение. Так как все подфункции функции $\gamma(z)$ существуют и непрерывны в точке $W_0(e^{-1})$, то достаточно найти значение $\gamma(W_0(e^{-1}))$. Найдём его, учитывая что $\ln W_0(e^{-1}) = -(W_0(e^{-1})+1)$ и $W_0(f_1(W_0(e^{-1}))) = -1$:

$$\begin{aligned} \gamma(W_0(e^{-1})) &= \frac{W_0(e^{-1})}{W_0(e^{-1})+1} - \frac{1}{\ln W_0(e^{-1})} = \\ &= 1 - \frac{1}{W_0(e^{-1})+1} - \frac{1}{\ln W_0(e^{-1})} = \\ &= 1 + \frac{1}{\ln W_0(e^{-1})} - \frac{1}{\ln W_0(e^{-1})} = 1. \end{aligned}$$

Все утверждения леммы для $\gamma(z)$ обоснованы. Тогда лемма справедлива и для $z_{sng}(\gamma)$. Лемма полностью доказана.

4.2. Интерполяция функции $z_{sng}(\gamma)$

В работах [8], [9] рассматривался частный случай, когда $\gamma = \frac{1}{2}$, и уравнение $g(z, \frac{1}{2}) = 0$ сводилось к квадратному. В случае, когда $\gamma = \frac{1}{3}$, функцию $g(z, \frac{1}{3})$ можно представить в виде $g(z, \frac{1}{3}) = -\frac{2}{3}(z^{\frac{1}{3}} - \frac{1}{2})(z^{\frac{1}{3}} + 1)^2$, то есть $z_{sng} = \frac{1}{8}$. В среде Maple удаётся найти корень уравнения $g(z, \gamma) = 0$ при некоторых значениях параметра γ . Ниже представлена таблица посчитанных аналитически значений функции $z_{sng}(\gamma)$ (значение $\gamma = 0.9999$ было посчитано численно методом Чебышёва, оно используется ниже для приближения функции $z_{sng}(\gamma)$ интерполяционными полиномами Лагранжа):

| γ | точное значение $z_{sng}(\gamma)$ | приближённое значение $z_{sng}(\gamma)$ |
|---------------|--|---|
| 0 | 0 | 0.000000000 |
| $\frac{1}{5}$ | $\frac{203}{3072} - \frac{675+100\sqrt{6}}{3072(135+60\sqrt{6})^{1/3}} +$ $+\frac{3675+1800\sqrt{6}}{3072(135+60\sqrt{6})^{2/3}}$ | 0.081611694 |
| $\frac{1}{3}$ | $\frac{1}{8}$ | 0.125000000 |
| $\frac{1}{2}$ | $(\sqrt{2} - 1)^2$ | 0.171572876 |
| $\frac{3}{5}$ | $\frac{-10 \cdot 10^{2/3} + 5 \cdot 10^{1/3} + 38}{12}$ | 0.196357092 |
| $\frac{2}{3}$ | $\frac{-3(1+\sqrt{2})^{2/3} + 2(1+\sqrt{2})^{1/3} + 3}{(1+\sqrt{2})^{1/3}}$ | 0.211785085 |
| 0.9999 | - | 0.278446693 |

Функция $\tilde{z}_{sng}(\gamma)$, являющаяся приближением функции $z_{sng}(\gamma)$ с помощью интерполяционного многочлена Лагранжа, имеет вид

$$\tilde{z}_{sng}(\gamma) = -0.1334972914\gamma^6 + 0.4761485984\gamma^5 - 0.7195948597\gamma^4 + 0.6430355190\gamma^3 - 0.4687531891\gamma^2 + 0.4811253273\gamma \quad (14)$$

Ниже показан график функции $z_{sng}(\gamma)$, полученный в Maple с использованием стандартной функции `solve`, и график разности между этой функцией и функцией (14).

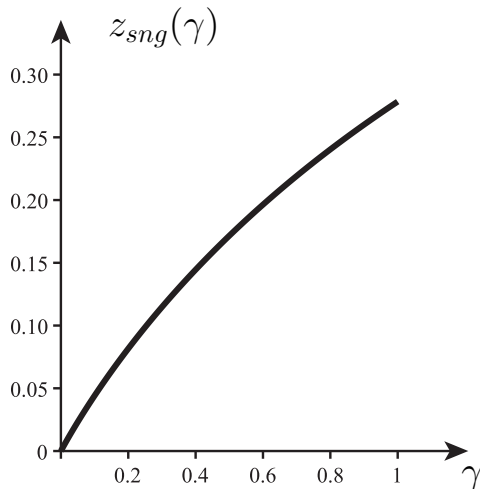


Рис. 7. График функции $z_{sng}(\gamma)$

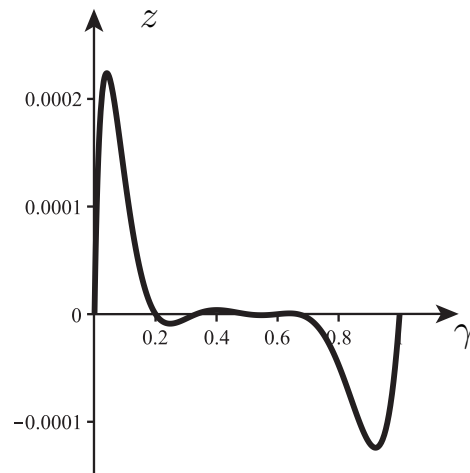


Рис. 8. График невязки

При поиске значений z_{sng} при различных $\gamma \in (0, 1)$ можно обратиться к численным методам решения нелинейных уравнений. В рамках проведённого исследования были использованы метод Ньютона [14], методы различных порядков сходимости, полученные из ряда Чебышёва [11]–[13], и метод продолжения по параметру [7].

4.3. Метод Ньютона

Зафиксируем некоторое $\bar{\gamma} \in (0, 1)$ и рассмотрим итерационный процесс

$$z^{k+1} = z^k - \frac{f(z^k)}{f'(z^k)}, \quad k = 0, 1, 2, \dots \quad (15)$$

На отрезке $[0, 1]$ функция $f(z)$ монотонно убывает и выпукла, значит, выбирая в качестве начального приближения точку отрезка $[0, 1]$, которая лежит левее корня уравнения (нельзя брать в качестве начального приближения левую границу этого отрезка, так как функция $f'(z)$ не определена при $z = 0$), можно утверждать, что итерационный процесс (15) монотонно сходится к решению уравнения $f(z) = 0$.

Выбирать начальное приближение z^0 для метода Ньютона можно разными способами. Один из них следующий: взять произвольную точку $z_0^0 \in (0, 1)$ и построить последовательность $z_n^0 = \frac{z_0^0}{2^n}, n = 1, 2, \dots$. В силу свойств функции $f(z)$ существует такой номер N , что для всех номеров $n \geq N$ выполнено неравенство $f(z_n^0) > 0$. В качестве начального приближения берётся любой элемент последовательности с номером, большим либо равным N .

Другой способ заключается в поиске начального приближения как некоторой функции $z^0 = z^0(\gamma)$, зависящей от параметра γ . Необходимо выполнение условия $z^0(\gamma) > 0 \quad \forall \gamma \in (0, 1)$. Рассмотрим функцию $g(z, \gamma)$. При численных вычислениях в среде Maple экспериментальным путём было установлено, что $g(\frac{\gamma}{4}, \gamma) > 0 \quad \forall \gamma \in (0, 1)$, и начальным приближением можно выбрать $z^0 = \frac{\gamma}{4}$. Строгое доказательство этого факта остаётся одной из дальнейших тем исследования авторов. Ниже на рис. 9–12 показаны графики функций $g_1(\gamma) = g(\gamma, \gamma)$, $g_2(\gamma) = g(\frac{\gamma}{2}, \gamma)$, $g_3(\gamma) = g(\frac{\gamma}{3}, \gamma)$, $g_4(\gamma) = g(\frac{\gamma}{4}, \gamma)$.

4.4. Ряд Чебышёва для уравнения $f(z) = 0$ и численные методы

Выберем такое число $\alpha \in (0, 1)$, что корень уравнения $f(z) = 0$ лежит правее α . Это всегда можно сделать (см. соображения выше). Для корня z_{sng} уравнения

$$f(z) = 0, \quad z \in [\alpha, 1]$$

введём ряд Чебышёва

$$z_{sng} = z + \sum_{k=1}^{\infty} \frac{(-1)^k}{k!} Q_{f'(z)}^{k-1} \left[\frac{1}{f'(z)} \right] f^k(z) \equiv \Phi(z), \quad z \in [0, 1], \quad (16)$$

где $Q_{f'(z)}^{k-1}$ — степень дифференциального оператора

$$Q_{f'(z)}[y] = \frac{1}{f'(z)} \frac{d}{dz} [y(z)]$$

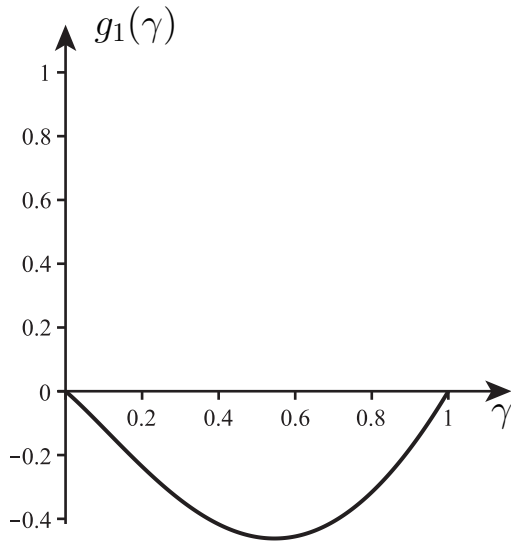


Рис. 9. График функции $g_1(\gamma) = g(\gamma, \gamma)$

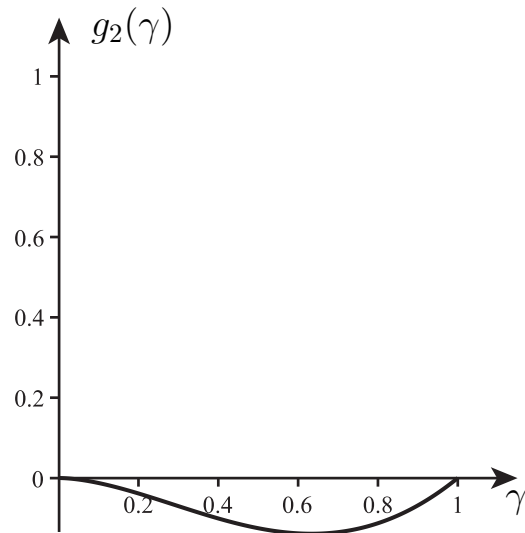


Рис. 10. График функции $g_2(\gamma) = g(\frac{\gamma}{2}, \gamma)$

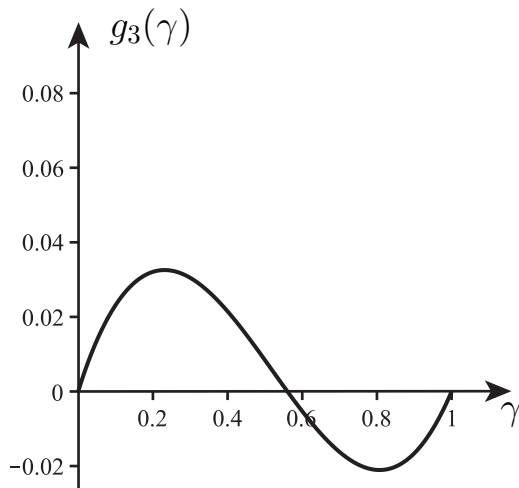


Рис. 11. График функции $g_3(\gamma) = g(\frac{\gamma}{3}, \gamma)$

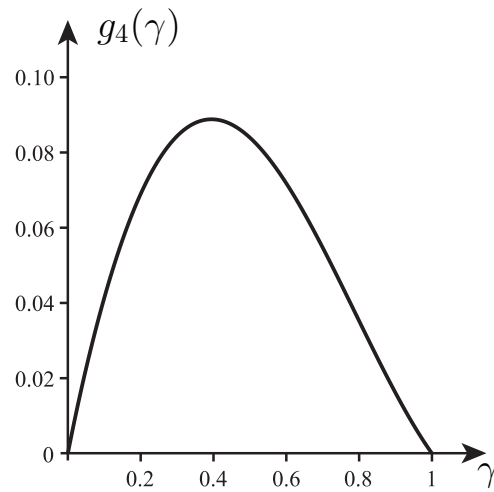


Рис. 12. График функции $g_4(\gamma) = g(\frac{\gamma}{4}, \gamma)$

Первый численный метод нахождения корня z_{sng} заключается в подсчёте частичных сумм ряда Чебышёва $\Phi(z)$

$$\varphi_m(z) = z + \sum_{k=1}^m \frac{(-1)^k}{k!} Q_{f'(z)}^{k-1} \left[\frac{1}{f'(z)} \right] f^k(z), \quad m = 1, 2, \dots$$

в произвольной точке $z^0 \in (0, 1)$ (корнем полагается значение $\varphi_m(z^0)$) до остановки по критерию останова (например, $|f(\varphi_m(z^0))| < \varepsilon$ или $|\varphi_m(z^0) - \varphi_{m-1}(z^0)| < \varepsilon$). Другой численный метод заключается в запуске итерационного процесса $z^k = \varphi_m(z^{k-1})$, $k = 1, 2, \dots$, при произвольном $z^0 \in (0, 1)$ и фиксированном $m \geq 1$, который имеет порядок сходимости $m + 1$. Когда $m = 1$, этот численный метод есть метод Ньютона и имеет квадратичную скорость сходимости.

Ниже показаны графики частичных сумм $\varphi_m(z)$ при $m = 1, 2, 3, 4$ и $\gamma = \frac{1}{2}$.

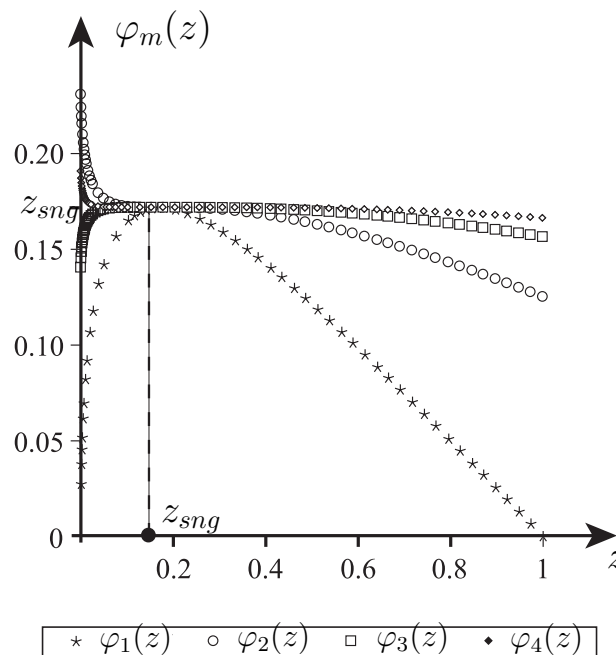


Рис. 13. Графики функций $\varphi_m(z)$ при $m = 1, 2, 3, 4$

4.5. Численные эксперименты

В среде Maple были проведены численные эксперименты по нахождению z_{sng} описанными выше численными методами. С помощью этого пакета можно находить слагаемые ряда Чебышёва последовательно в символьной форме. Ниже представлен явный вид частичных сумм ряда Чебышёва φ_1, φ_2 :

$$\varphi_1(z) = z - \frac{f(z)}{f'(z)} = \frac{\gamma z(1 - z^{\gamma-1})}{(\gamma - 1)(1 + z^\gamma)},$$

$$\begin{aligned}\varphi_2(z) &= z - \frac{f(z)}{f'(z)} - \frac{f''(z)f^2(z)}{2(f'(z))^3} = \\ &= \frac{\gamma z(z^{-2+2\gamma}\gamma^2 + z^{2\gamma}(\gamma^2 - 1) + z^{-1+2\gamma}(2\gamma^2 - 6\gamma + 4) + z^{-1+\gamma}(-4\gamma + 2))}{2(\gamma - 1)^2(1 + z^\gamma)^3} + \\ &+ \frac{\gamma z(z^\gamma(2\gamma - 2) + z^{-1+3\gamma}(-2\gamma + 2) + 2\gamma - 1)}{2(\gamma - 1)^2(1 + z^\gamma)^3}.\end{aligned}$$

4.5.0.1. Случай $\gamma = \frac{1}{2}$ Для $\gamma = \frac{1}{2}$ имеется аналитическое решение $z_{sng} = (\sqrt{2}-1)^2$. Первым численным методом были получены следующие результаты. Была рассмотрена последовательность частичных сумм $\varphi_m(\frac{1}{2})$ и последовательность $\varphi_m(\frac{1}{3})$. Отличие между $\varphi_{11}(\frac{1}{2})$ и z_{sng} начинается в 7 знаке после запятой, а отличие между $\varphi_{11}(\frac{1}{3})$ и z_{sng} — в 10 знаке.

4.5.0.2. Случай $\gamma = \frac{1}{3}$ Для $\gamma = \frac{1}{3}$ (в этом случае $z_{sng} = \frac{1}{8}$ первым численным методом были получены следующие результаты:

$$\begin{aligned}|\varphi_{11}(\frac{1}{2}) - z_{sng}| &\leq 2 \cdot 10^{-5}; \\ |\varphi_{11}(\frac{1}{3}) - z_{sng}| &\leq 4 \cdot 10^{-6}.\end{aligned}$$

Оказалось, что подсчёт частичных сумм может занимать довольно продолжительное время, в силу сложности вычисления производных. При $\gamma = \frac{1}{3}$ подсчёт $\varphi_{11}(\frac{1}{3})$ занял около 20 секунд, а ошибка вычисления z_{sng} оказалась уже в 6 знаке после запятой. В Maple функция $\varphi_m(z)$ задавалась в операторном виде:

```
f:=(z,g)->(g-1)*z-z^(1-g)+g: # функция f(z)
G:=a->unapply(diff(a(z,g),z)/
/diff(f(z,g),z),z,g): # оператор Q
phi:=(m,z,g)->z+sum((-1)^k/k!*
*(G@@(k-1))(1/D[1](f))(z,g)*
*f(z,g)^k,k=1..m): # функция phi_m
```

Для вычисления $\varphi_{11}(\frac{1}{3})$ при $\gamma = \frac{1}{3}$ вызывалась функция `phi(11, 1/3, 1/3)`.

Обратимся ко второму методу вычислений и повторим, что он охватывает и метод Ньютона при $m = 1$. Итерационная схема второго метода порядка $m + 1$ имеет вид $z^k = \varphi_m(z^{k-1})$, $k = 1, 2, \dots$. Параметр z^0 необходимо задать. Ниже в таблице представлены оценки ошибок вычислений на каждом шаге при $\gamma = \frac{1}{2}$. Начальное приближение было выбрано $z^0 = \frac{\gamma}{4} = \frac{1}{8}$. Ошибка k -й итерации метода $(m + 1)$ -го порядка вычислялась как $|\varphi_m(z^{k-1}) - z_{sng}|$ и это число оценивается сверху числом из таблицы.

| № итерации \ Порядок метода | 2 | 3 | 4 | 5 |
|-----------------------------|--------------------|---------------------|---------------------|---------------------|
| 1 | $3 \cdot 10^{-3}$ | $2 \cdot 10^{-4}$ | $8 \cdot 10^{-6}$ | $5 \cdot 10^{-7}$ |
| 2 | $8 \cdot 10^{-6}$ | $2 \cdot 10^{-12}$ | $3 \cdot 10^{-21}$ | $3 \cdot 10^{-32}$ |
| 3 | $7 \cdot 10^{-11}$ | $4 \cdot 10^{-36}$ | $3 \cdot 10^{-83}$ | $4 \cdot 10^{-159}$ |
| 4 | $4 \cdot 10^{-21}$ | $6 \cdot 10^{-107}$ | $4 \cdot 10^{-331}$ | $9 \cdot 10^{-793}$ |

Теперь приведём пример вычисления z_{sng} , когда его точное значение неизвестно. Пусть $\gamma = \frac{3}{4}$. Начальное приближение было выбрано $z^0 = \frac{\gamma}{4} = \frac{3}{16}$. Ошибка k -й итерации метода $(m+1)$ -го порядка вычислялась как $|f(\varphi_m(z^{k-1}))|$ и это число оценивается сверху числом из таблицы.

| № итерации \ Порядок метода | 2 | 3 | 4 | 5 |
|-----------------------------|--------------------|---------------------|---------------------|---------------------|
| 1 | $3 \cdot 10^{-3}$ | $3 \cdot 10^{-6}$ | $3 \cdot 10^{-6}$ | 10^{-7} |
| 2 | $8 \cdot 10^{-6}$ | $2 \cdot 10^{-18}$ | $3 \cdot 10^{-23}$ | $6 \cdot 10^{-36}$ |
| 3 | $8 \cdot 10^{-11}$ | $5 \cdot 10^{-55}$ | $4 \cdot 10^{-90}$ | $3 \cdot 10^{-177}$ |
| 4 | $7 \cdot 10^{-21}$ | $2 \cdot 10^{-164}$ | $5 \cdot 10^{-363}$ | $3 \cdot 10^{-884}$ |

С точностью до 20 знака после запятой $z_{sng} = 0.22998062971263062672$ при $\gamma = \frac{3}{4}$.

Видно, что итерационные методы второго типа гораздо более эффективны, чем первый метод, и работают очень быстро.

4.6. Метод продолжения по параметру

Обратимся к методу продолжения по параметру [7]. Будем искать решение уравнения $f(z) = 0$ при $\gamma = \gamma^* \in (0, 1)$. Пусть мы знаем корень \bar{z}_{sng} при $\gamma = \bar{\gamma}$. Тогда рассмотрим функцию $g(z, \gamma)$. Знаем, что $g(\bar{z}_{sng}, \bar{\gamma}) = 0$, требуется решить уравнение $g(z, \gamma^*) = 0$ относительно z . Составим задачу Коши для метода продолжения по параметру:

$$\begin{cases} \frac{d}{d\gamma} g(z(\gamma), \gamma) \equiv z(\gamma) + (\gamma - 1)z'(\gamma) - \\ - z(\gamma)^{1-\gamma} \left(-\ln z(\gamma) + (1 - \gamma) \frac{z'(\gamma)}{z(\gamma)} \right) + 1 = 0, \\ z(\bar{\gamma}) = \bar{z}_{sng}. \end{cases}$$

Пусть $z(\gamma)$, $\gamma \in [\min(\bar{\gamma}, \gamma^*), \max(\bar{\gamma}, \gamma^*)]$ — её решение. Тогда $z(\gamma^*)$ является корнем уравнения $g(z, \gamma^*) = 0$.

В среде Maple были проведены численные эксперименты с использованием метода продолжения по параметру. Для решения задачи Коши использовался метод Рунге-Кутты-Фельберга (он по умолчанию работает в функции `dsolve`). Параметры метода (`abserr=1e-6`, `relerr=1e-5`) тоже были взяты по умолчанию.

Для $\gamma^* = \frac{3}{4}$, $\bar{\gamma} = \frac{1}{2}$ было посчитано $z(\gamma^*) = 0.22998054220403698006$ и $|g(z(\gamma^*), \gamma^*)| < 9 \cdot 10^{-8}$.

Для $\gamma^* = \frac{3}{4}$, $\bar{\gamma} = \frac{1}{3}$ было посчитано $z(\gamma^*) = 0.22998059561066788397$ и $|g(z(\gamma^*), \gamma^*)| < 4 \cdot 10^{-8}$.

При увеличении точности метода (`abserr=1e-10`, `relerr=1e-9`) результаты улучшились:

Для $\gamma^* = \frac{3}{4}$, $\bar{\gamma} = \frac{1}{2}$ было посчитано $z(\gamma^*) = 0.22998062971182183335$ и $|g(z(\gamma^*), \gamma^*)| < 9 \cdot 10^{-13}$.

Для $\gamma^* = \frac{3}{4}$, $\bar{\gamma} = \frac{1}{3}$ было посчитано $z(\gamma^*) = 0.22998062963862954552$ и $|g(z(\gamma^*), \gamma^*)| < 8 \cdot 10^{-11}$.

4.7. График функции $z_{sng}(\gamma)$

Ниже показан график функции $z_{sng}(\gamma)$, полученный в среде Maple с помощью функции `solve`. Было посчитано $z_{sng}(0.999999999999999) =$

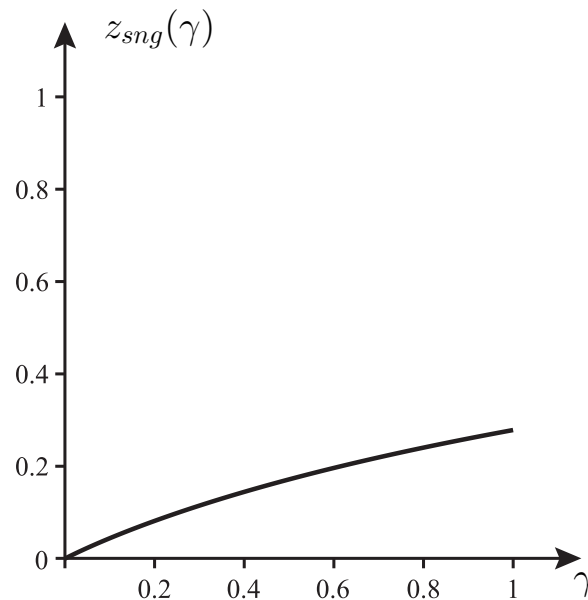


Рис. 14. График функции $z_{sng}(\gamma)$

$= 0.278464542761073622165849234544$ с точностью до 30 знака после запятой методом второго типа 5 порядка.

5. Построение решения задачи (1) на основе специального интегрального представления функционала

Из дифференциального уравнения задачи (1) выразим управление u через z и \dot{z} :

$$u = \frac{z(1+z^\gamma) + \dot{z}}{1+z}. \quad (17)$$

Подстановка выражения (17) в функционал L даёт

$$\begin{aligned} L &= \omega_1 \int_0^T \left[1 + z^\gamma - \frac{z(1 + z^\gamma) + \dot{z}}{1 + z} \right] dt + \omega_2 \int_0^T \frac{z(1 + z^\gamma) + \dot{z}}{z(1 + z)} dt = \\ &= \int_0^T \frac{1 + z^\gamma}{1 + z} dt + \omega_2 \ln \frac{z(T)}{z_0} + \ln \frac{1 + z_0}{1 + z(T)}. \end{aligned} \quad (18)$$

Введём в рассмотрение функцию

$$W(z) = \frac{1 + z^\gamma}{1 + z}. \quad (19)$$

Тогда функционал (18) допускает следующее представление

$$L = \int_0^T W(z(t)) dt + \omega_2 \ln \frac{z(T)}{z_0} + \ln \frac{1 + z_0}{1 + z(T)}, \quad (20)$$

в котором интеграл не содержит управления.

Лемма 3. *Функция (19) достигает максимального значения при $z \geq 0$ в единственной точке*

$$z_* = \operatorname{argmax}_{z \geq 0} W(z) \equiv z_{sng} \in (0, 1).$$

Доказательство. Имеем $W(0) = 1$, $W(+\infty) = 0$, $W(z) > 0 \forall z > 0$. Производная функции (19)

$$W'(z) = \frac{(\gamma - 1)z - z^{1-\gamma} + \gamma}{z^{1-\gamma}(1 + z)^2}$$

имеет единственный положительный корень

$$z = z_{sng} \in (0, 1)$$

и обладает свойствами

$$\begin{cases} W'(z) = 0 & \text{при } z = z_{sng}, \\ W'(z) > 0 & \text{при } 0 < z < z_{sng}, \\ W'(z) < 0 & \text{при } z_{sng} < z < +\infty. \end{cases} \quad (21)$$

Эти свойства можно доказать, используя рассуждения про $f(z)$ выше. Соотношения (21) приводят к обоснованию леммы 2. График функции (19) показан на рис. 15.

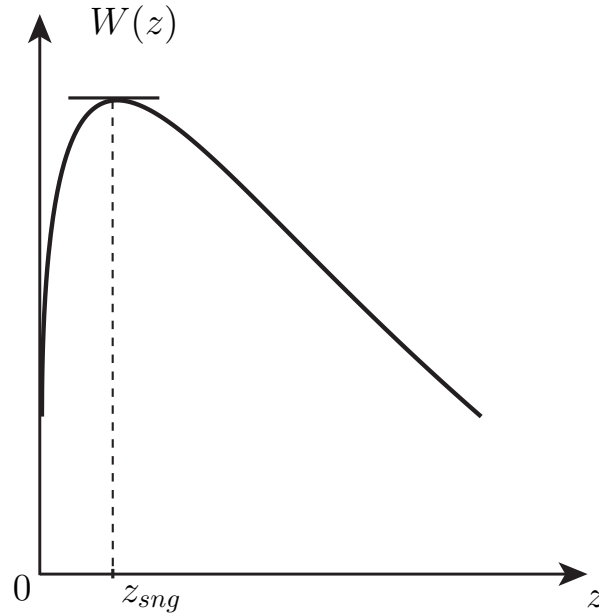


Рис. 15. График функции $W(z)$

Наряду с описанным ранее множеством достижимости (в прямом времени) $Z(t) = [z_-(t), z_+(t)]$ рассмотрим для объекта

$$\dot{z} = (1+z)u - z(1+z^\gamma), \quad z|_{t=T} = z_1$$

множество достижимости (в обратном времени)

$$Y(t, z_1) = [y_-(t, z_1), y_+(t, z_1)], \quad t \leq T,$$

нижняя граница $y_-(t, z_1)$ отвечает управлению $u(t) \equiv 1$, верхняя граница $y_+(t, z_1)$ — управлению $u(t) \equiv 0$. Функция $y_+(t, z_1)$ определена при $t \leq T$ на полуинтервале $(\bar{t}_+, T]$, функция $y_-(t, z_1)$ определена при $t \leq T$ на полуинтервале $(\bar{t}_-, T]$. Если $\bar{t}_+ < 0$, то полагаем

$$x_+(t, z_1) = \min\{z_+(t), y_+(t, z_1)\},$$

иначе

$$x_+(t, z_1) = \begin{cases} z_+(t), & 0 \leq t \leq \bar{t}_+, \\ \min\{z_+(t), y_+(t, z_1)\}, & \bar{t}_+ < t \leq T. \end{cases}$$

Если $\bar{t}_- < 0$, то полагаем

$$x_-(t, z_1) = \max\{z_-(t), y_-(t, z_1)\},$$

иначе

$$x_-(t, z_1) = \begin{cases} z_-(t), & 0 \leq t \leq \bar{t}_-, \\ \max\{z_-(t), y_-(t, z_1)\}, & \bar{t}_- < t \leq T. \end{cases}$$

Введём обозначение

$$X(t, z_1) = [x_-(t, z_1), x_+(t, z_1)], \quad t \in [0, T].$$

Ясно, что любая допустимая траектория $z(t)$ задачи (1) при дополнительном условии $z(T) = z_1 \in Z(T)$ удовлетворяют включению

$$z(t) \in X(t, z_1), \quad t \in [0, T]$$

(геометрическую интерпретацию последнего включения и свойств множества $X(t, z_1)$ даёт рис. 16). Тогда оптимальную траекторию задачи (1) с дополни-

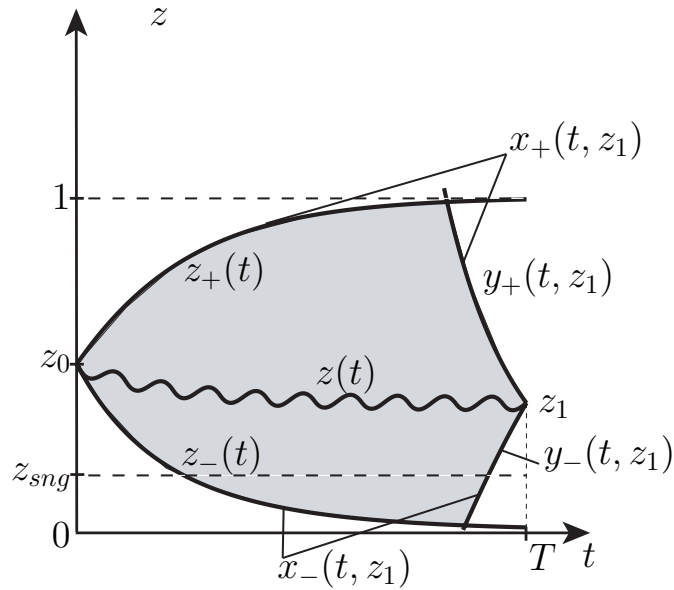


Рис. 16. Вид множества $X(t, z_1)$

тельным условием $z(T) = z_1 \in Z(T)$ можно представить в форме

$$z_{op}(t, z_1) = \operatorname{argmax}_{\zeta \in X(t, z_1)} W(\zeta), \quad (22)$$

а оптимальное значение функционала L имеет вид

$$\Phi_{op}(z_1) = \int_0^T W(z_{op}(t, z_1)) dt + \omega_2 \ln \frac{z_1}{z_0} + \ln \frac{1+z_0}{1+z_1}.$$

Следовательно, правый конец z_1 оптимальной траектории в задаче (1) можно записать в форме

$$z_1^* = \operatorname{argmax}_{z_1 \in Z(T)} \Phi_{op}(z_1).$$

Исследуем выражение (10) для определения оптимального управления на конечном участке времени. Из равенства (22) вытекает, что при достаточно большой длительности процесса управления T (когда оптимальная

траектория успеваает задержаться некоторое время на особом режиме) сход оптимальной траектории с особого режима на финальном участке времени может быть осуществлён только по граничному управлению.

Найдём такие ω_1 и ω_2 , при которых не происходит сход с особого режима на конечном участке времени $(\theta, T]$, то есть $z(T) \equiv z_{sng}$, а управление равно u_{sng} . Тогда с учётом исследований предыдущего раздела $\pi|_{t=T} \equiv 0$, или

$$\frac{\omega_2}{\omega_1} = z_{sng}. \quad (23)$$

Рассмотрим случай $\frac{\omega_2}{\omega_1} > z_{sng}$. Покажем, что $\pi|_{t=T} > 0$, т.е. $u_{opt} = 1$ на $(\theta, T]$. Пусть $\frac{\omega_2}{\omega_1} = z_{sng} + \varepsilon$, где $\varepsilon > 0$. Тогда

$$\pi|_{t=T} = \frac{\omega_1}{z(T)}(z_{sng} + \varepsilon - z(T)). \quad (24)$$

Действительно, если $\pi|_{t=T} < 0$, то должны одновременно выполняться условия $z(T) > z_{sng} + \varepsilon$ и $u = 0$ на финальном участке, что невозможно в силу динамики задачи. Аналогично проверяется, что при $\frac{\omega_2}{\omega_1} < z_{sng}$ управление на конечном участке времени $u_{opt} = 0$, а при $\omega_2 = 1, \omega_1 = 0$ $u_{opt} = 1$.

Ниже рассмотрены четыре случая задачи (1) в зависимости от параметров ω_1 и ω_2 .

6. Случай I, $\frac{\omega_2}{\omega_1} = z_{sng}$

6.1. Формулировка основных результатов

При изучении задачи (1) будем выделять три случая.

- **Случай I.a:** $z_0 = z_{sng}$, $T > 0$ (особое значение начальной позиции z_0);
- **Случай I.b:** $z_0 > z_{sng}$, $T > \tau_2$ («большие» значения z_0), τ_2 — положительный корень уравнения $z_-(\tau) = z_{sng}$, допускающий следующее выражение

$$\tau_2 = \frac{1}{\gamma} \ln \frac{1 + z_{sng}^{-\gamma}}{1 + z_0^{-\gamma}}; \quad (25)$$

- **Случай I.c:** $z_0 \in (0, z_{sng})$, $T > \tau_3$ («малые» значения z_0), τ_3 — положительный корень уравнения $z_+(\tau) = z_{sng}$ (при заданном z_0 корень τ_3 можно найти, привлекая численные методы).

6.1.0.3. Оптимальное решение задачи (1)

Теорема 1. В случае I.a оптимальные траектория и управление задачи (1) имеют вид

$$z_{op}(t) = z_{sng}, \quad 0 \leq t \leq T, \quad u_{op}(t) = u_{sng}, \quad 0 \leq t \leq T.$$

Теорема 2. В случае I.b оптимальные траектория и управление задачи (1) имеют вид

$$z_{op}(t) = \begin{cases} z_-(t), & 0 \leq t \leq \tau_2, \\ z_{sng}, & \tau_2 < t \leq T, \end{cases} \quad u_{op}(t) = \begin{cases} 0, & 0 \leq t \leq \tau_2, \\ u_{sng}, & \tau_2 < t \leq T, \end{cases}$$

где τ_2 — точка переключения $\tau_2 \in (0, T)$ определяется формулой (25).

Теорема 3. В случае I.c оптимальные траектория и управление задачи (1) имеют вид

$$z_{op}(t) = \begin{cases} z_+(t), & 0 \leq t \leq \tau_3, \\ z_{sng}, & \tau_3 < t \leq T, \end{cases} \quad u_{op}(t) = \begin{cases} 1, & 0 \leq t \leq \tau_3, \\ u_{sng}, & \tau_3 < t \leq T, \end{cases}$$

где τ_3 — точка переключения $\tau_3 \in (0, T)$ является положительным корнем уравнения $z_+(\tau) = z_{sng}$.

6.2. Графики оптимальных траекторий

Графики функций $z_{op}(t)$ при различных z_0 показаны на рис. 17–19.

7. Случай II, $\frac{\omega_2}{\omega_1} < z_{sng}$

7.1. Формулировка основных результатов

7.1.0.4. Формулы и обозначения Для описания оптимального решения задачи (1) при достаточно больших значениях параметра $T > 0$ — длительности процесса управления — введём следующие обозначения:

$$T - \theta \equiv \Delta\theta = \frac{1}{\gamma} \ln \frac{z_{sng}^\gamma}{(1 + z_{sng}^\gamma) - \omega_1(1 + z_{sng})} > 0$$

— длительность финального участка,

$$\zeta(t, \theta) = \left[(1 + z_{sng}^{-\gamma}) e^{\gamma(t-\theta)} - 1 \right]^{-\frac{1}{\gamma}} \quad (26)$$

— траектория на финальном участке времени $[\theta, T]$.

При изучении задачи (1) будем выделять три случая.

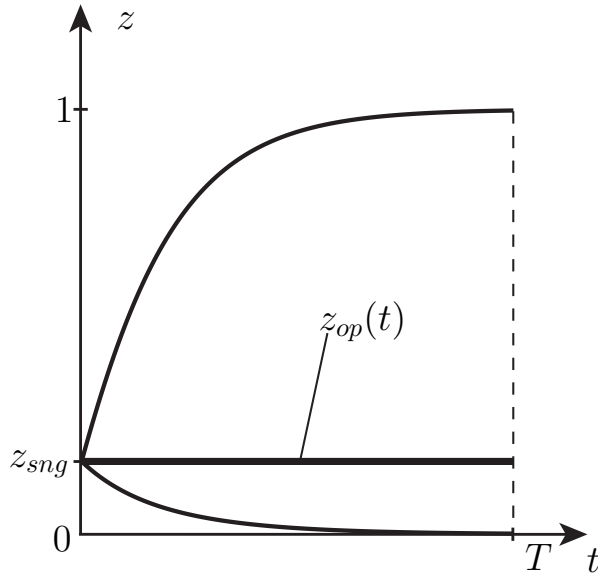


Рис. 17. Оптимальная траектория $z_{op}(t)$ при $z_0 \equiv z_{sng}$

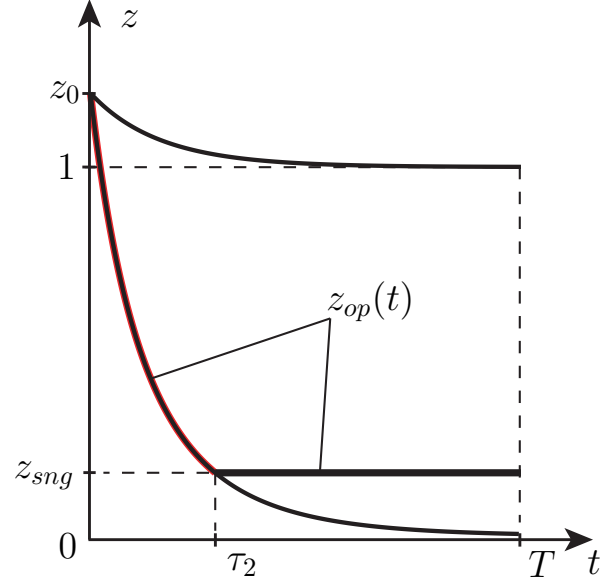


Рис. 18. Оптимальная траектория $z_{op}(t)$ при $z_0 > z_{sng}$

- **Случай II.a:** $z_0 = z_{sng}$, $T > \Delta\theta$ (особое значение начальной точки z_0);
- **Случай II.b:** $z_0 > z_{sng}$, $T > \tau_2 + \Delta\theta$ («большие» значения z_0), τ_2 — положительный корень уравнения $z_-(\tau) = z_{sng}$, определяемый (25);
- **Случай II.c:** $z_0 \in (0, z_{sng})$, $T > \tau_3 + \Delta\theta$ («малые» значения z_0), τ_3 — положительный корень уравнения $z_+(\tau) = z_{sng}$ (при заданном z_0 корень τ_3 можно найти, привлекая численные методы).

7.1.0.5. Оптимальное решение задачи (1)

Теорема 4. В случае II.a оптимальные траектория и управление задачи (1) имеют вид

$$z_{op}(t) = \begin{cases} z_{sng}, & 0 \leq t \leq \theta, \\ \zeta(t, \theta), & \theta < t \leq T, \end{cases} \quad u_{op}(t) = \begin{cases} u_{sng}, & 0 \leq t \leq \theta, \\ 0, & \theta < t \leq T, \end{cases}$$

где функция $\zeta(t, \theta)$ определяется формулой (26), а точка переключения $\theta = T - \Delta\theta \in (0, T)$.

Теорема 5. В случае II.b оптимальные траектория и управление задачи (1) имеют вид

$$z_{op}(t) = \begin{cases} z_-(t), & 0 \leq t \leq \tau_2, \\ z_{sng}, & \tau_2 < t \leq \theta, \\ \zeta(t, \theta), & \theta < t \leq T, \end{cases} \quad u_{op}(t) = \begin{cases} 0, & 0 \leq t \leq \tau_2, \\ u_{sng}, & \tau_2 < t \leq \theta, \\ 0, & \theta < t \leq T, \end{cases}$$

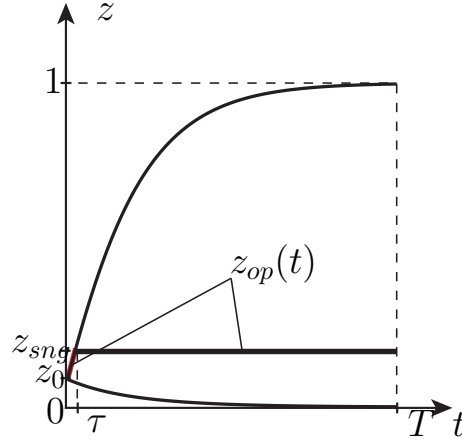


Рис. 19. Оптимальная траектория $z_{op}(t)$ при $0 < z_0 < z_{sng}$

где τ_2 и θ — точки переключения: $0 < \tau_2 < \theta < T$; τ_2 определяется формулой (25), $\theta = T - \Delta\theta$.

Теорема 6. В случае II.с оптимальные траектория и управление задачи (1) имеют вид

$$z_{op}(t) = \begin{cases} z_+(t), & 0 \leq t \leq \tau_3, \\ z_{sng}, & \tau_3 < t \leq \theta, \\ \zeta(t, \theta), & \theta < t \leq T, \end{cases} \quad u_{op}(t) = \begin{cases} 1, & 0 \leq t \leq \tau_3, \\ u_{sng}, & \tau_3 < t \leq \theta, \\ 0, & \theta < t \leq T, \end{cases}$$

где τ_3 и θ — точки переключения: $0 < \tau_3 < \theta < T$; τ_3 — положительный корень уравнения $z_+(\tau) = z_{sng}$, $\theta = T - \Delta\theta$.

7.2. Вывод оптимального θ — момента времени схода с особого режима

Без ограничения общности рассмотрим случай I, когда $z_0 = z_{sng}$. Тогда значение функционала L в задаче (1) с оптимальным управлением и траекторией из теоремы 4 равно

$$h(\theta) = \omega_1 \int_0^T [1 + z_{op}^\gamma(t, \theta) - u_{op}(t, \theta)] dt + \omega_2 \int_0^T \frac{u_{op}(t, \theta)}{z_{op}(t, \theta)} dt. \quad (27)$$

Выполним максимизацию функции (27) при $\theta < T$. Функцию (27) можно представить в виде

$$h(\theta) = \omega_1 \int_0^\theta [1 + z_{sng}^\gamma - u_{sng}] dt + \omega_2 \int_0^\theta \frac{u_{sng}}{z_{sng}} dt + \omega_1 \int_\theta^T [1 + \zeta^\gamma(t, \theta)] dt,$$

или, принимая во внимание равенство

$$1 + z_{sng}^\gamma - u_{sng} = \frac{u_{sng}}{z_{sng}} = W(z_{sng})$$

и формулу (26), определяющую функцию $\zeta(t, \theta)$, получаем

$$\begin{aligned} h(\theta) &= W(z_{sng})\theta + \omega_1 \int_{\theta}^T \left[1 + \frac{1}{(1 + z_{sng}^{-\gamma})e^{\gamma(t-\theta)} - 1} \right] dt = \\ &= W(z_{sng})\theta + \omega_1 \int_{\theta}^T \frac{(1 + z_{sng}^{-\gamma})e^{\gamma(t-\theta)}}{(1 + z_{sng}^{-\gamma})e^{\gamma(t-\theta)} - 1} dt = \\ &= W(z_{sng})\theta + \frac{\omega_1}{\gamma} \int_{\theta}^T \frac{d[(1 + z_{sng}^{-\gamma})e^{\gamma(t-\theta)} - 1]}{[(1 + z_{sng}^{-\gamma})e^{\gamma(t-\theta)} - 1]} = \\ &= W(z_{sng})\theta + \frac{\omega_1}{\gamma} \ln [(1 + z_{sng}^{-\gamma})e^{\gamma(t-\theta)} - 1] \Big|_{t=\theta}^{t=T} = \\ &= W(z_{sng})\theta + \frac{\omega_1}{\gamma} \ln ((1 + z_{sng}^\gamma)e^{\gamma(T-\theta)} - z_{sng}^\gamma). \end{aligned}$$

Найдём производную функции $h(\theta)$ и её корень. Имеем

$$\begin{aligned} h'(\theta) &= \frac{1 + z_{sng}^\gamma}{1 + z_{sng}} + \frac{\omega_1}{\gamma} \frac{(1 + z_{sng}^\gamma)e^{\gamma(T-\theta)}(-\gamma)}{(1 + z_{sng}^\gamma)e^{\gamma(T-\theta)} - z_{sng}^\gamma} = \\ &= \frac{1 + z_{sng}^\gamma}{1 + z_{sng}} - \omega_1 \frac{1 + z_{sng}^\gamma}{(1 + z_{sng}^\gamma) - z_{sng}^\gamma e^{-\gamma(T-\theta)}}. \end{aligned}$$

Ищем корень уравнения

$$h'(\theta) = 0,$$

которое равносильно уравнению

$$\frac{1}{1 + z_{sng}} = \omega_1 \frac{1}{(1 + z_{sng}^\gamma) - z_{sng}^\gamma e^{-\gamma(T-\theta)}},$$

или

$$(1 + z_{sng}^\gamma) - z_{sng}^\gamma e^{-\gamma(T-\theta)} = \omega_1(1 + z_{sng}),$$

или

$$e^{-\gamma(T-\theta)} = \frac{(1 + z_{sng}^\gamma) - \omega_1(1 + z_{sng})}{z_{sng}^\gamma},$$

или

$$e^{\gamma(T-\theta)} = \frac{z_{sng}^\gamma}{(1 + z_{sng}^\gamma) - \omega_1(1 + z_{sng})}.$$

Отсюда получаем

$$T - \theta = \frac{1}{\gamma} \ln \frac{z_{sng}^\gamma}{(1 + z_{sng}^\gamma) - \omega_1(1 + z_{sng})} \equiv \Delta\theta,$$

$$\theta = T - \Delta\theta.$$

Вычисляя вторую производную функции $h(\theta)$, находим

$$\begin{aligned} h''(\theta) &= - \left(\omega_1 \frac{1 + z_{sng}^\gamma}{(1 + z_{sng}^\gamma) - z_{sng}^\gamma e^{-\gamma(T-\theta)}} \right)'_{\theta} = \\ &= -(1 + z_{sng}^\gamma) \omega_1 (-1) \frac{-\gamma z_{sng}^\gamma e^{-\gamma(T-\theta)}}{[(1 + z_{sng}^\gamma) - z_{sng}^\gamma e^{-\gamma(T-\theta)}]^2} = \\ &= -(1 + z_{sng}^\gamma) \omega_1 \frac{\gamma z_{sng}^\gamma e^{-\gamma(T-\theta)}}{[(1 + z_{sng}^\gamma) - z_{sng}^\gamma e^{-\gamma(T-\theta)}]^2} < 0. \end{aligned}$$

Следовательно, $\operatorname{argmax} h(\theta) = T - \Delta\theta$. Оптимальное значение для длительности

$$T - \theta = \Delta\theta \equiv \frac{1}{\gamma} \ln \frac{z_{sng}^\gamma}{(1 + z_{sng}^\gamma) - \omega_1(1 + z_{sng})}$$

финального участка времени управления получено. График функции $h(\theta)$ при $\omega_1 = 1$ показан на рис. 20.

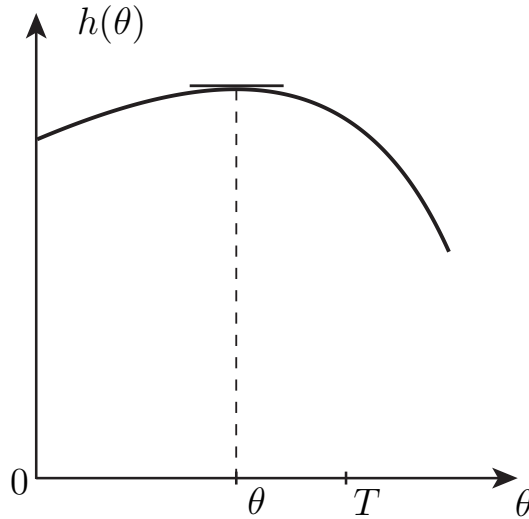


Рис. 20. График функции $h(\theta)$

7.3. Графики оптимальных траекторий

Графики функций $z_{op}(t)$ при различных z_0 показаны на рис. 21–23.

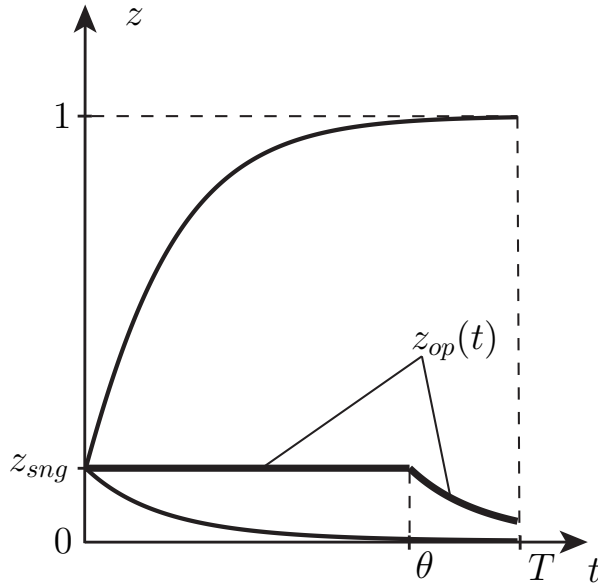


Рис. 21. Оптимальная траектория $z_{op}(t)$ при $z_0 \equiv z_{sng}$

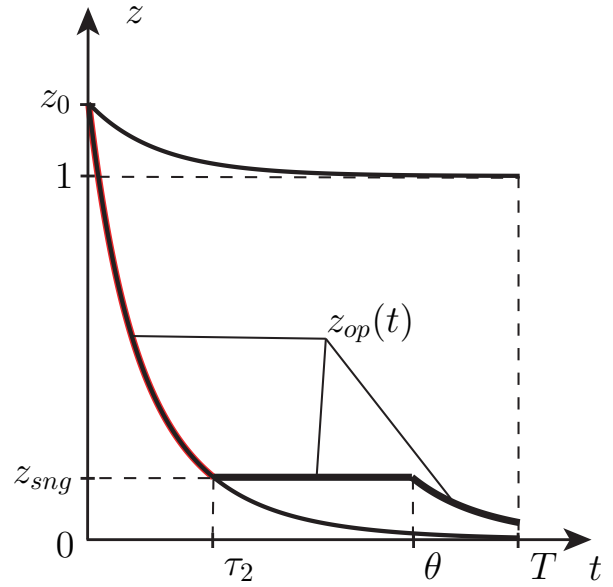


Рис. 22. Оптимальная траектория $z_{op}(t)$ при $z_0 > z_{sng}$

8. Случай III, $\frac{\omega_2}{\omega_1} > z_{sng}$

8.1. Формулировка основных результатов

8.1.0.6. Формулы и обозначения Для описания оптимального решения задачи (1) при достаточно больших значениях параметра $T > 0$ — длительности процесса управления — введём следующие обозначения:

θ — точка схода с особого режима,

$\eta(t, \theta)$ — траектория на участке времени $[\theta, T]$,

являющаяся решением задачи Коши

$$\dot{\eta} = 1 - \eta^{\gamma+1}, \quad \eta(\theta, \theta) = z_{sng}. \quad (28)$$

$$h(\theta) = \omega_1 \int_0^T [1 + z_{op}^\gamma(t, \theta) - u_{op}(t, \theta)] dt + \omega_2 \int_0^T \frac{u_{op}(t, \theta)}{z_{op}(t, \theta)} dt \quad (29)$$

— значение функционала как функция от точки переключения θ .

При изучении задачи (1) будем выделять три случая.

- **Случай III.a:** $z_0 = z_{sng}$, $\operatorname{argmax}_{\theta \in [0, T]} h(\theta) > 0$ (особое значение начального состояния z_0);
- **Случай III.b:** $z_0 > z_{sng}$, $\operatorname{argmax}_{\theta \in [0, T]} h(\theta) > \tau_2$ («большие» значения z_0), τ_2 — положительный корень уравнения $z_-(\tau) = z_{sng}$, определяемый (25);

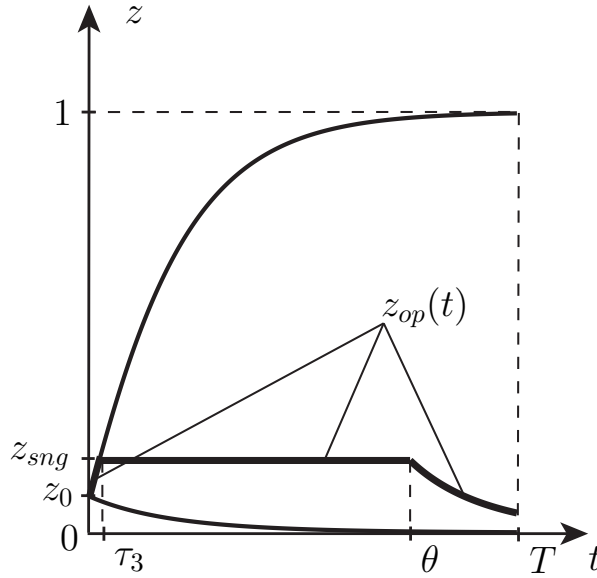


Рис. 23. Оптимальная траектория $z_{op}(t)$ при $0 < z_0 < z_{sng}$

- **Случай III.c:** $z_0 \in (0, z_{sng})$, $\operatorname{argmax}_{\theta \in [0, T]} h(\theta) > \tau_3$ («малые» значения z_0),
 τ_3 — положительный корень уравнения $z_+(\tau) = z_{sng}$ (при заданном z_0 корень τ_3 можно найти, привлекая численные методы).

8.1.0.7. Оптимальное решение задачи (1)

Теорема 7. В случае III.a оптимальные траектория и управление задачи (1) имеют вид

$$z_{op}(t) = \begin{cases} z_{sng}, & 0 \leq t \leq \theta, \\ \eta(t, \theta), & \theta < t \leq T, \end{cases} \quad u_{op}(t) = \begin{cases} u_{sng}, & 0 \leq t \leq \theta, \\ 1, & \theta < t \leq T, \end{cases}$$

где функция $\eta(t, \theta)$ определяется задачей Коши (28), точка переключения $\theta \in (0, T)$ есть точка максимума функции $h(\theta)$, определяемой соотношением (29), на отрезке $[0, T]$.

Теорема 8. В случае III.b оптимальные траектория и управление задачи (1) имеют вид

$$z_{op}(t) = \begin{cases} z_-(t), & 0 \leq t \leq \tau_2, \\ z_{sng}, & \tau_2 < t \leq \theta, \\ \eta(t, \theta), & \theta < t \leq T, \end{cases} \quad u_{op}(t) = \begin{cases} 0, & 0 \leq t \leq \tau_2, \\ u_{sng}, & \tau_2 < t \leq \theta, \\ 1, & \theta < t \leq T, \end{cases}$$

где τ_2 и θ — точки переключения: $0 < \tau_2 < \theta < T$; τ_2 определяется формулой (25), $\theta = \operatorname{argmax}_{\theta \in [0, T]} h(\theta)$.

Теорема 9. В случае III.c оптимальные траектория и управление задачи (1) имеют вид

$$z_{op}(t) = \begin{cases} z_+(t), & 0 \leq t \leq \tau_3, \\ z_{sng}, & \tau_3 < t \leq \theta, \\ \eta(t, \theta), & \theta < t \leq T, \end{cases} \quad u_{op}(t) = \begin{cases} 1, & 0 \leq t \leq \tau_3, \\ u_{sng}, & \tau_3 < t \leq \theta, \\ 1, & \theta < t \leq T, \end{cases}$$

где τ_3 и θ — точки переключения: $0 < \tau_3 < \theta < T$; τ_3 — положительный корень уравнения $z_+(\tau) = z_{sng}$, $\theta = \operatorname{argmax}_{\bar{\theta} \in [0, T]} h(\bar{\theta})$.

8.2. Доказательство существования оптимального θ

Без ограничения общности рассмотрим случай I, когда $z_0 = z_{sng}$. Тогда значение функционала L в задаче (1) с оптимальным управлением и траекторией из теоремы 7 равно

$$\begin{aligned} h(\theta) &= \omega_1 \int_0^T [1 + z_{op}^\gamma(t, \theta) - u_{op}(t, \theta)] dt + \omega_2 \int_0^T \frac{u_{op}(t, \theta)}{z_{op}(t, \theta)} dt = \\ &= \left(\omega_1 [1 + z_{sng}^\gamma - u_{sng}] + \omega_2 \frac{u_{sng}}{z_{sng}} \right) \theta + \omega_1 \int_\theta^T \eta^\gamma(t, \theta) dt + \omega_2 \int_\theta^T \frac{dt}{\eta(t, \theta)}. \end{aligned} \quad (30)$$

Найдём условия, при которых функция $h(\theta)$ имеет максимум. Производная функции (30) имеет вид

$$\begin{aligned} h'(\theta) &= \left(\omega_1 [1 + z_{sng}^\gamma - u_{sng}] + \omega_2 \frac{z_{sng}}{u_{sng}} \right) - \omega_1 \eta^\gamma(\theta, \theta) + \\ &+ \omega_1 \int_\theta^T \frac{\partial \eta}{\partial \theta}(t, \theta) \gamma \eta^{\gamma-1}(t, \theta) dt - \frac{\omega_2}{\eta(\theta, \theta)} - \omega_2 \int_\theta^T \frac{\frac{\partial \eta}{\partial \theta}(t, \theta)}{\eta^2(t, \theta)} dt = \\ &= \omega_1 [1 - u_{sng}] + \omega_2 \frac{u_{sng} - 1}{z_{sng}} + \omega_1 \int_\theta^T \frac{\partial \eta}{\partial \theta}(t, \theta) \gamma \eta^{\gamma-1}(t, \theta) dt - \omega_2 \int_\theta^T \frac{\frac{\partial \eta}{\partial \theta}(t, \theta)}{\eta^2(t, \theta)} dt. \end{aligned} \quad (31)$$

Лемма 4. Для функции $\eta(t, \theta)$, определённой как решение задачи Коши (28), справедливо соотношение

$$\frac{\partial \eta}{\partial \theta}(t, \theta) = -\frac{\partial \eta}{\partial t}(t, \theta) \quad \forall t \geq \theta \geq 0.$$

Доказательство. Проинтегрируем дифференциальное уравнение из задачи Коши (28) с учётом начального условия:

$$\int_{z_{sng}}^{\eta} \frac{dz}{1 - z^{\gamma+1}} = \int_\theta^t dt, \quad (32)$$

или

$$f(\eta) = t - \theta, \quad (33)$$

где $f(\eta) = \int_{z_{sng}}^{\eta} \frac{dz}{1 - z^{\gamma+1}}$. Продифференцировав равенство (33) по t и по θ ,

получим следующие соотношения для производных $\frac{\partial \eta}{\partial \theta}(t, \theta)$ и $\frac{\partial \eta}{\partial t}(t, \theta)$:

$$f'(\eta) \frac{\partial \eta}{\partial t} = 1, \quad f'(\eta) \frac{\partial \eta}{\partial \theta} = -1. \quad (34)$$

Из соотношений (34) получаем утверждение леммы.

С учётом леммы 4 преобразуем выражение для производной (31):

$$\begin{aligned} h'(\theta) &= \omega_1[1 - u_{sng}] + \omega_2 \frac{u_{sng} - 1}{z_{sng}} - \omega_1 \int_{\theta}^T \frac{\partial \eta}{\partial t}(t, \theta) \gamma \eta^{\gamma-1}(t, \theta) dt + \omega_2 \int_{\theta}^T \frac{\partial \eta}{\partial t}(t, \theta) dt = \\ &= \omega_1[1 - u_{sng}] + \omega_2 \frac{u_{sng} - 1}{z_{sng}} - \omega_1 \int_{z_{sng}}^{\eta(T, \theta)} \gamma z^{\gamma-1} dz + \omega_2 \int_{z_{sng}}^{\eta(T, \theta)} \frac{dz}{z^2} = \\ &= \omega_1[1 + z_{sng}^{\gamma} - u_{sng}] + \omega_2 \frac{u_{sng}}{z_{sng}} - \omega_1 \eta^{\gamma}(T, \theta) - \frac{\omega_2}{\eta(T, \theta)} = \\ &= W(z_{sng}) - \omega_1 \eta^{\gamma}(T, \theta) - \frac{\omega_2}{\eta(T, \theta)}. \end{aligned} \quad (35)$$

Найдём вторую производную функции $h(\theta)$:

$$h''(\theta) = \frac{\partial \eta}{\partial \theta}(T, \theta) \cdot \frac{\omega_1}{\eta^2(T, \theta)} \cdot \left[\frac{\omega_2}{\omega_1} - \gamma \eta^{\gamma+1}(T, \theta) \right]. \quad (36)$$

Лемма 5. Функция $\eta(t, \theta)$, являющаяся решением задачи Коши (28), обладает следующими свойствами:

1. $\frac{\partial \eta}{\partial \theta}(t, \theta) < 0 \quad \forall t \geq \theta \geq 0$;
2. $\eta(t, \theta)$ монотонно убывает по θ при $t \geq \theta$ для любого $t \geq 0$;
3. $z_{sng} \leq \eta(t, \theta) \leq 1 \quad \forall t \geq \theta \geq 0$;
4. $\lim_{t \rightarrow +\infty} \eta(t, \theta) = 1 \quad \forall \theta \geq 0$.

Рассмотрим равенства (35) и (36). Из леммы 5 следует, что функция $h''(\theta)$ либо отрицательна на всём отрезке $[0, T]$, либо, если существует нуль функции (решение уравнения $\frac{\omega_2}{\omega_1} = \gamma\eta^{\gamma+1}(T, \theta)$), то она положительна левее нуля функции и отрицательна правее. Это означает, в свою очередь, что либо функция $h'(\theta)$ убывает на всём отрезке $[0, T]$, либо сначала возрастает, а потом убывает. В крайних точках отрезка $[0, T]$ функция $h'(\theta)$ имеет вид

$$h'(T) = \omega_1[1 - u_{sng}] + \omega_2 \frac{u_{sng} - 1}{z_{sng}} = (1 - u_{sng}) \frac{\omega_1}{z_{sng}} \left[z_{sng} - \frac{\omega_2}{\omega_1} \right] < 0,$$

$$h'(0) = \omega_1 \left[1 + z_{sng}^\gamma - u_{sng} - \eta^\gamma(T, 0) \right] + \omega_2 \left(\frac{u_{sng}}{z_{sng}} - \frac{1}{\eta(T, 0)} \right).$$

С учётом проведённого выше исследования, для существования максимума функции $h(\theta)$ достаточно выполнения соотношения $h'(0) > 0$. Оно будет выполнено, например, когда $\eta(T, 0) \geq \frac{z_{sng}}{u_{sng}} = \frac{1}{W(z_{sng})}$, так как первое слагаемое положительно. Так как $W(z_{sng}) > 1$, тогда в силу свойства 4 из леммы 5 всегда найдётся такое T , что выполнится условие $\eta(T, 0) \geq \frac{1}{W(z_{sng})}$.

8.3. Графики оптимальных траекторий

Графики функций

$z_{op}(t)$ при различных z_0 показаны на рис. 24–26.

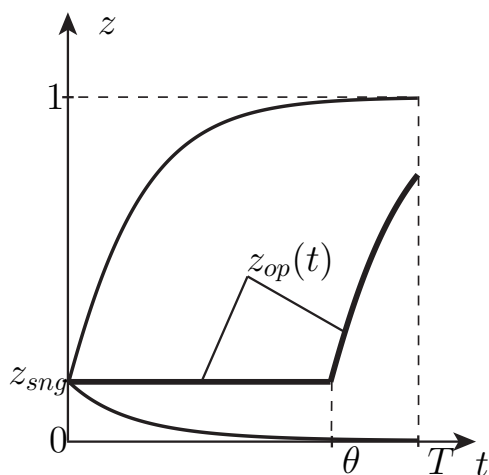


Рис. 24. Оптимальная траектория $z_{op}(t)$ при $z_0 \equiv z_{sng}$

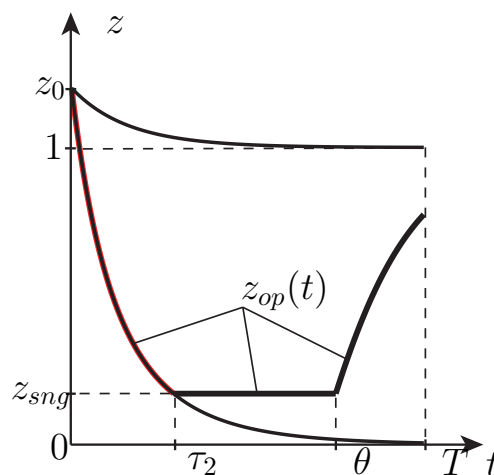


Рис. 25. Оптимальная траектория $z_{op}(t)$ при $z_0 > z_{sng}$

9. Случай IV, $\omega_2 = 1$

Анализ этого случая и окончательный результат (при $\gamma = \frac{1}{2}$) были представлены в докладе, тезисы которого содержатся в публикации [8]. При произвольном $\gamma \in (0, 1)$ рассмотрение аналогично случаю III.

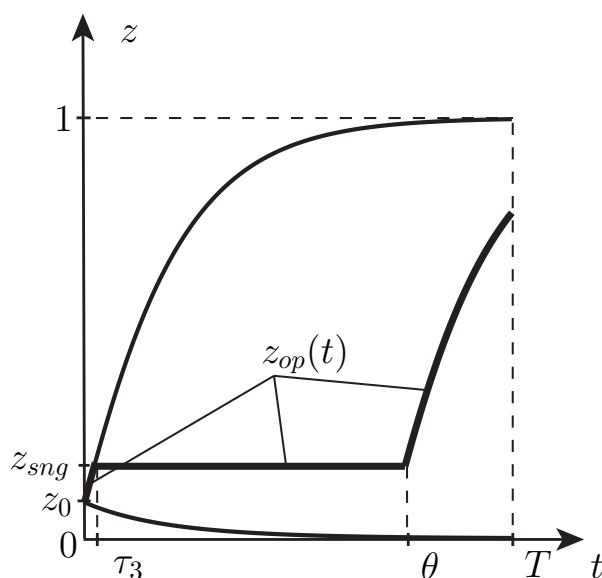


Рис. 26. Оптимальная траектория $z_{op}(t)$ при $0 < z_0 < z_{sng}$

10. Заключение

В статье исследована задача (1), найдены оптимальные управления и траектории для различных значений параметров модели. Для нахождения особого режима проанализированы различные численные методы поиска корней нелинейных уравнений.

Список литературы

1. Понтрягин Л.С., Болтянский В.Г., Гамкрелидзе Р.В., Мищенко Е.Ф. Математическая теория оптимальных процессов. Москва. 1961. 391 с.
2. Ли Э.Б., Маркус Л. Основы теории оптимального управления. Москва, Издательство «НАУКА», 1972. 576 с.
3. Optimization of Technological Growth. Editors: Kryazhimskiy A., Watanabe Ch. // Gendaitosho, 2004. 392 pp.
4. Ватанабе Ч., Решмин С.А., Тарасьев А.М. Динамическая модель процесса инвестиций в научно-технические разработки. Прикладная математика и механика. Том 65. Вып. 3, 2001, с. 408–425.
5. Аввакумов С.Н., Киселёв Ю.Н. Численный метод поиска оптимального решения: Модель «Рост». Математические модели в экономике и биологии. Материалы научного семинара. Планерное. Московская обл. МАКС Пресс, 2003, с. 5–15.
6. Шестакова М.А. Множества достижимости и их приложения к исследованию задачи экономического роста. Математические модели в экономике и биологии. Материалы научного семинара. Планерное. Московская обл. МАКС Пресс, 2003, с. 95–98.

7. *Киселёв Ю.Н., Аввакумов С.Н., Орлов М.В.* Оптимальное управление. Линейная теория и приложения. МАКС Пресс, 2007, с. 248–250.
8. *Орлов С.М.* Максимизация уровня развития технологий в одной модели экономического роста. Сборник тезисов XVIII научной конференции «Ломоносов - 2011». Москва. МАКС Пресс, 2011, с. 42–43.
9. *Киселёв Ю.Н., Орлов С.М., Орлов М.В.* Исследование одной нелинейной задачи оптимального управления с особыми режимами. Проблемы динамического управления. Выпуск 5. Под редакцией академика РАН Ю.С. Осипова, академика РАН А.В. Кряжковского. Москва. МАКС Пресс, 2010, с. 113–127.
10. *Киселёв Ю.Н., Орлов М.В.* Исследование одномерных оптимизационных моделей в случае бесконечного горизонта. Дифференциальные уравнения. 2004. Т. 40. № 12. с. 1615–1628.
11. *Аввакумов С.Н., Киселёв Ю.Н.* Решение систем нелинейных уравнений на основе ряда Чебышёва. Проблемы математической физики. 1998. с. 5–27.
12. *Чебышёв П.Л.* Вычисление корней уравнений. Полное собрание сочинений, том 5. 1951. с. 7–25.
13. *Березин И.С., Жидков Н.П.* Методы вычислений. том 2. Москва. Физматгиз, 1959, с. 140–143.
14. *Самарский А.А., Гулин А.В.* Численные методы. Москва. "Наука 1989, с. 199–205.
15. *R. Corless, G. Gonnet, D. Hare, D. Jeffrey, D. Knuth* On the Lambert W function. Advances in Computational Mathematics. Berlin, New York: Springer-Verlag, 5, 1996. pp 329–359.